

- 2018, 15(3):75-78.
- [11] 立平, 汪艾曼, 程慧梅. 彩超在长期血液透析患者自体动静脉内瘘并发症中的应用价值[J]. 中西医结合心血管病电子杂志, 2017, 5(6):56.
- [12] Murakami M, Sakaguchi G, Mori N. Arteriovenous fistula combined with brachial artery superficialization is effective in patients with a high risk of maturation failure [J]. J Vasc Surg, 2017, 65 (2) : 452-458.
- [13] 朱宇莉, 丁红, 范培丽, 等. 维持性血透患者前臂自体动静脉内瘘(AVF)血流量参数超声测量的方法及参考值范围[J]. 复旦学报(医学版), 2014, 41(6) : 577-579.
- [14] 周文辉. 彩色多普勒超声检查肾衰患者人工动静脉内瘘的临床应用价值[J]. 中国医疗器械信息, 2017, 23(3) : 47-49.
- [15] Han A, Min SK, Kim MS, et al. A prospective and omized trial of routine duplex ultrasound surveillance on arteriovenous fistula maturation[J]. Clin J Am Soc Nephrol, 2016, 11(10) : 1817-1824.
- [16] Gorin DR, Perrino L, Potter DM, et al. Ultrasound-guided angioplasty of autogenous arteriovenous fistulas in the office setting [J]. J Vasc Surg, 2012, 55(6) : 1701-1705.
- [17] Guedes Marques M, Ibeas J, Botelho C, et al. Doppler ultrasound: a powerful tool for vascular access sur-veillance [J]. Semin Dial, 2015, 28(2) : 206-210.
- [18] Lomonte C, Meola M, Petrucci I, et al. The key role of color Doppler ultrasound in the work-up of hemodialysis vascular access [J]. Semin Dial, 2015, 28(2) : 211-215.
- [19] 黄小妹, 王银, 肖伟, 等. 超声监测下不同的狭窄阈值对人工血管动静脉内瘘通畅率影响[J]. 中国血液净化, 2018, 17(6) : 397-400.
- [20] 黄雪芳, 曹婷, 黄敬心, 等. 彩超引导下与盲穿留置颈内静脉血液透析导管效果比较[J]. 广东医学, 2014, 35(18) : 2893-2895.
- (收稿日期: 2018-07-29)

· 病例报道 ·

Ultrasonic misdiagnosis of perianal abscess secondary to subcutaneous abscess of scrotum : a case report

超声误诊肛周脓肿继发阴囊皮下脓肿 1 例

黄海涛 李舟跃 邬久燕

[中图法分类号]R445.1

[文献标识码]B

患者男, 78岁, 因发现阴囊皮下包块3年, 进行性增大就诊, 门诊以“脂肪瘤”收治入院。无明显红肿、疼痛、破溃, 无发热、畏寒, 无尿频、尿急、尿痛等。实验室检查: 白细胞 $6.5 \times 10^9/L$, 中性粒细胞百分比54.8%, C反应蛋白0.5。超声检查: 于右侧阴囊皮下探及一大小约 $2.17 \text{ cm} \times 1.10 \text{ cm}$ 不均匀回声(图1), 边界尚清, 中央回声增强, CDFI于其内探及较丰富血流信号, 以周边为主(图2)。超声提示: 阴囊皮下不均匀回声结节, 表皮囊肿伴感染? 行手术切除治疗, 病理诊断为阴囊皮下脓肿。后追问病史, 患者诉3年前曾有肛周脓肿病史。

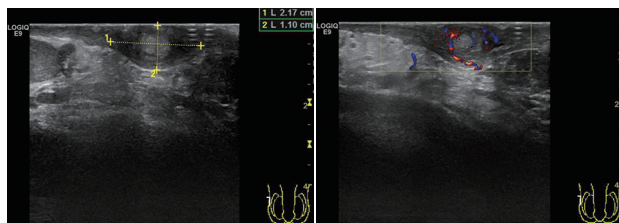


图1 超声示右侧阴囊皮下探及不均匀回声, 边界尚清
图2 CDFI于回声内部探及较丰富血流信号

讨论: 阴囊皮下脓肿主要来源于会阴筋膜下脓肿, 较为少见。该部位的脓肿分深浅两层, 感染途径是肛门前侧齿线处的肛窦和裂伤的肛管皮肤。发病后若未及时治疗, 则会向阴囊蔓

延, 形成阴囊皮下脓肿。超声检查可明确脓肿的部位及其与周边组织的关系, 但脓肿在不同时期超声表现不同: ①前期脓腔尚未形成, 内可见点、片状高回声, 周边可见低回声晕影; ②脓肿形成期囊壁厚而粗糙, 内壁不光整, 内部回声较多变, 脓液稀薄而均匀时, 为无回声区或少量稀疏细点状回声; 脓液较稠时, 无回声区内可见密集漂浮细点状回声, 间有散在片状、条索状高回声, 可向脓腔底层集中; ③脓肿坏死、液化不充分时, 内部可有分隔样回声, 或呈蜂窝状小腔, 其间也可有片状、条索状高回声; ④脓肿吸收期脓腔壁新生肉芽组织, 囊腔缩小或消失, 内呈斑片状、条索状高回声^[1]。本例患者有肛周脓肿病史, 自行超声检查时未告知医师。分析本例误诊原因主要与阴囊皮下脓肿少见、超声及临床医师经验不足及病史采集不完整有关。本例患者病程较长, 临床症状不明显, 超声检查虽可确诊声像图典型的脓肿病例, 但因脓肿在不同时期声像图表现有所不同, 对诊断造成一定困难。通过本例分析提醒超声医师检查时要密切结合临床病史综合分析, 以提高诊断准确率。

参考文献

- [1] 钟海燕. 超声误诊小儿肝脓肿 1 例[J]. 临床超声医学杂志, 2018, 20(1) : 29.

(收稿日期: 2018-11-13)